

ΜΕΛΕΤΗ ΤΟΥ ΕΛΕΥΘΕΡΙΟΥ ΥΔΡΟΦΟΡΟΥ ΟΡΙΖΟΝΤΑ ΤΗΣ ΛΕΚΑΝΗΣ ΑΝΩ ΜΕΣΣΗΝΙΑΣ ΜΕ ΤΗ ΧΡΗΣΗ ΜΑΘΗΜΑΤΙΚΟΥ ΟΜΟΙΩΜΑΤΟΣ

Ε. Σπυρίδωνος¹

ΠΕΡΙΛΗΨΗ

Με το μαθηματικό ομοίωμα του ελεύθερου υδροφόρου ορίζοντα της λεκάνης της Ανω Μεσσηνίας προσδιορίζονται οι παράγοντες που επηρεάζουν ένα κλειστό υδρογεωλογικό σύστημα και η ποσοτική συμμετοχή του στο υδρολογικό ισοζύγιο. Στην υπό μελέτη περιοχή δημιουργούνται κλειστές συνθήκες για το υπό-γειο νερό, από το συνδυασμό της λιθολογίας του υποβάθρου του υδροφορέα και των τεκτονικών δομών. Οι κύριοι παράγοντες που επηρεάζουν τη ροή του νερού είναι: α) ο ποταμός Άμφιτας, που διασχίζει την περιοχή με διεύθυνση Β-Ν και αποτελεί τη μοναδική διέξοδο για τα νερά τη λεκάνης, β) οι εισροές στον υδροφορέα από τη γειτονική λεκάνη Δωρίου δυτικά και τις ρηγιγενείς ζώνες ανατολικά - βόρεια, και γ) η τροφοδοσία του ελεύθερου υδροφόρου ορίζοντα από τον υπό πίεση. Η προσομοίωση έδειξε ότι η διαφορά υψομέτρου των παρυφών του υδροφορέα από το κεντρικό τμήμα σε συνδυασμό με τη μείωση της τιμής του συντελεστή K προς το κέντρο προκαλεί πλημμύρες την άνοιξη.

ABSTRACT

Mathematical modeling of the phreatic aquifer of the Ano Messini basin, is used to determine the factors that influence a closed hydrogeological system and their quantitative contribution to the hydrological balance. Closure of groundwater flow appears as a result of the lithology of the underlying formations and tectonic structures. The major factors affecting the groundwater flow are: a) the Amfitas river, which flows through the ba-sin in a N-S direction, b) water inflows from the Dorion neighbour basin to the West and the fault zones to the East - North, and c) water leakance from the confined aquifer to the phreatic one. Simulation showed that the elevation difference of the aquifer margins to the central part in conjunction with diminishing K values to the centre causes flooding on spring.

1. ΕΙΣΑΓΩΓΗ

Στον ελληνικό χώρο, ο συνδυασμός της λιθολογίας των αλπικών ενοτήτων με τον πτυχογόνο και ρηγματογόνο τεκτονισμό και τη μορφοτεκτονική εξέλιξη κατά τη νεοτεκτονική περίοδο, δημιουργεί σε πολλές περιοχές κλειστά υδρογεωλογικά συστήματα, είτε σε υδροφορείς που αναπτύσσονται σε κλασικά ιζήματα, όπως η λεκάνη της Άνω Μεσσηνίας (ΜΑΡΙΟΛΑΚΟΣ, 1988), είτε σε καρστικούς υδροφορείς (εκτός άλλων ΓΚΑΝΑΣ, 1986, ΚΟΚΟΡΟΜΥΤΗΣ & ΣΠΥΡΙΔΩΝΟΣ, 1986, ΠΑΠΑΝΙΚΟΛΑΟΥ et. al., 1991).

Η έννοια του κλειστού συστήματος γεωμορφολογικά αναφέρεται σε υδραυλικό κλεισίσιμο των επιφανειακών απορροών, όπου το δίκτυο απορροής είναι εσωτερι-

¹ FU Berlin, Institut für Geologie, Geophysik und Geoinformatik, FR Geoinformatik, Malteserstr 74-100, Haus D, D-12249 Berlin, GERMANY

κό και η μόνη εκροή από το υδρολογικό σύστημα είναι η εξατμισιδιαπνοή. Υδρογεωλογικά κλειστό είναι το σύστημα όπου η ροή του υπόγειου νερού είναι επίσης εσωτερική, χωρίς υπόγειες εκροές (DUFFY & AL-HASSAN, 1988). Η λεκάνη της Άνω Μεσσηνίας, αποτελεί ένα κλειστό σύστημα δύον αφορά τη ροή του υπόγειου νερού (ΜΑΡΙΟΛΑΚΟΣ, 1988). Στην περιοχή αναπτύσσονται δύο υδροφόροι ορίζοντες στα μεταλπικά ιζήματα, ένας φρεάτιος και ένας βαθύτερος υπό πίεση. Στην παρούσα εργασία εξετάζεται μόνον ο ελεύθερος υδροφόρος ορίζοντας.

Πρέπει να παρατηρηθεί δια τα όρια της λεκάνης (υδροκρίτες) δε συμπίπουν με τα όρια του υδροφορέα, ο οποίος αποτελεί ένα τμήμα μόνο της λεκάνης. Στην παρακάτω συζήτηση ο όρος ισοζύγιο αναφέρεται στο ισοζύγιο του ελεύθερου υδροφόρου και όχι στο ισοζύγιο δύος της λεκάνης.

Σε ένα τέτοιο σύστημα δε μπορούν να χρησιμοποιηθούν οι χάρτες ισοπλευρών μετρικών καμπυλών για την εκτίμηση του συντελεστή υδραυλικής αγωγιμότητας K (ΜΑΡΙΟΛΑΚΟΣ, 1988). Για να μελετηθεί η συμπεριφορά του υδροφόρου συστήματος της Άνω Μεσσηνίας και στη συνέχεια να εκτιμηθεί η επίδραση των ανθρώπινων επεμβάσεων (γεωτρήσεις, αντιπλημμυρικά έργα), επιλέχθηκε η μέθοδος της μαθηματικής προσομοίωσης (MERCER & FAUST, 1981, ΜΠΑΜΠΑΤΖΙΜΟΠΟΥΛΟΣ et al., 1985 a, b, KINZELBACH, 1986).

Ειδικότερα προσδιορίζονται οι παράγοντες εκείνοι οι οποίοι επηρεάζουν τη ροή του υπόγειου νερού σε ένα τέτοιο κλειστό σύστημα και το μέγεθος της επίδρασής τους.

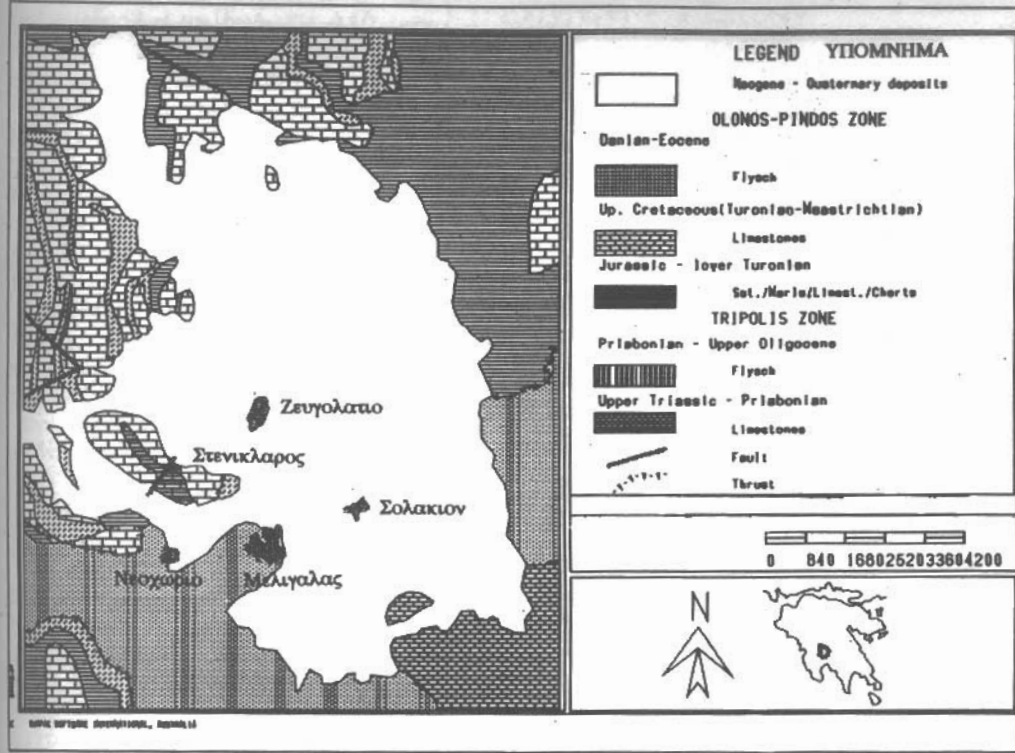
2. ΓΕΩΛΟΓΙΚΗ ΠΕΡΙΓΡΑΦΗ ΤΗΣ ΠΕΡΙΟΧΗΣ

Η γεωλογική δομή της περιοχής που έχει μελετηθεί ιδιαίτερα από τους ΛΑΛΕΧΟ, 1974, ΚΑΤΣΙΚΑΤΣΟ, 1980, και ΜΑΡΙΟΛΑΚΟ, 1988 συνοψίζεται στα εξής:

Η λεκάνη της Άνω Μεσσηνίας, μαζί με αυτές προς νότο της Κάτω Μεσσηνίας και του Δωρίου και Κυπαρισσίας προς τη δύση αποτελούν τμήματα του τεκτονικού βυθίσματος Καλαμάτας-Κυπαρισσίας, που καθορίζεται από δύο ρηγίγενεις ζώνες, τη μία στο βόρειο και ανατολικό περιθώριο και την άλλη στο νότιο και δυτικό (εικ. 1). Η Άνω Μεσσηνία αποτελούσε κατά το Πλειόκαινο ένα παλαιοισθμό μεταξύ του Μεσσηνιακού και του Κυπαρισσιακού κόλπου, αφού οι νεογενείς αποθέσεις των λεκανών αυτών είναι θαλάσσιες, ενώ τα κλαστικά ιζήματα στην Άνω Μεσσηνία είναι χερσαία (ΜΑΡΙΟΛΑΚΟΣ, 1988).

Στην περιοχή απαντούν δύο αλπικές γεωτεκτονικές ενότητες, η ενότητα Τρίπολης και η ενότητα Ολωνού - Πίνδου, και τα μεταλπικά πλειο - τεταρτογενή ιζήματα, τα οποία αποτίθενται ασύμφωνα πάνω στο αλπικό υπόβαθρο. Τα μεταλπικά κλαστικά ιζήματα παρουσιάζουν μεγάλο πάχος σε σχέση με τις διαστάσεις της λεκάνης, το οποίο στο κέντρο της ξεπερνά τα 280 m (ΜΑΡΙΟΛΑΚΟΣ, 1988). Στο δυτικό περιθώριο της λεκάνης τα ιζήματα αποτίθενται πάνω στην ενότητα της Πίνδου, κυρίως σε ραδιολαρίτες, ανωκρητιδικούς ασβεσιόλιθους και φλύσχη. Στο βόρειο και στο ανατολικό περιθώριο τα μεταλπικά ιζήματα βρίσκονται τεκτονικά σε επαφή με τους αλπικούς σχηματισμούς, εξαιτίας των περιθωριακών ρηγμάτων του τεκτονικού βυθίσματος Καλαμάτας - Κυπαρισσίας, στο βόρειο τμήμα με ραδιολαρίτες Πίνδου και στο ανατολικό με ραδιολαρίτες Πίνδου και φλύσχη Τρίπολης. Στο νότιο περιθώριο αποτίθενται πάνω στο φλύσχη της Τρίπολης και νοτιοανατολικά πάνω σε ασβεσιόλιθους Τρίπολης. Στο νοτιοδυτικό άκρο της η λεκάνη συνδέεται μέσω μιας στενής πεδινής λωρίδας μεταλπικών ιζημάτων μικρού πάχους με τη λεκάνη Δωρίου - Κοπανακιού.

Οι μεταλπικές αποθέσεις, στις οποίες αναπτύσσεται ο υπό μελέτη υδροφόρος ορίζοντας, έχουν έκταση 81 km² και μπορούν να χωριστούν γεωμορφολογικά σε δύο περιοχές (εικ. 2), μια προς τις παρυφές της λεκάνης με απότομη μορφολογία, όπου κυριαρχούν κώνοι αλλούσιακών κορρημάτων, με χονδρόβρυκο υλικό, και μια στο κεντρικό, πεδινό τμήμα, που καλύπτεται από ένα μικρού πά-



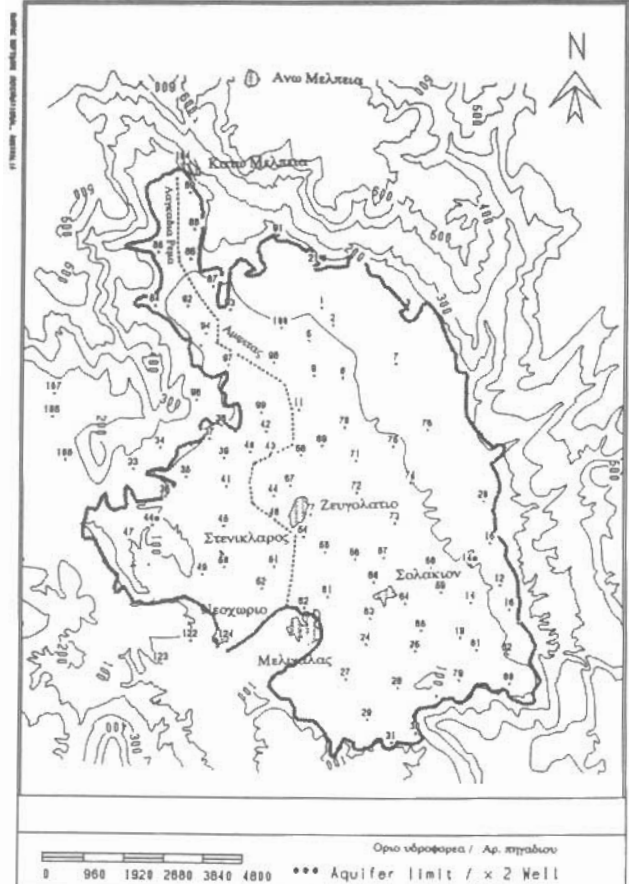
Εικ. 1: Απλοποιημένος γεωλογικός χάρτης (Μαριολάκος, 1988)
Fig. 1: Simplified geological map (Mariolakos, 1988)

χους αργιλοσαμμώδες στρώμα. Γενικά προς τους βαθύτερους ορίζοντες παρατηρήθηκε αδρομερέστερο κλασικό υλικό. Σε βάθος 25-40 m εμφανίζεται ένα αργιλικό στρώμα πάχους περίπου 5-20 m. Οι περιφερειακοί κώνοι κορρημάτων, το μεγάλο πάχος των ιζημάτων και οι εναλλαγές χονδρόκοκκου με λεπτόκοκκο κλασικό υλικό είναι τυπικά γνωρίσματα κλειστών λεκανών (MABBUT, 1979). Αυτό που αποτελεί ιδιαίτερο χαρακτηριστικό της λεκάνης της Άνω Μεσσηνίας είναι η ύπαρξη του προαναφερθέντος αργιλικού ορίζοντα.

3. ΥΔΡΟΓΕΩΛΟΓΙΚΕΣ ΣΥΝΘΗΚΕΣ

Γεωτρήσεις που έγιναν στην περιοχή έδειξαν ότι αναπτύσσονται δύο υδροφόροι ορίζοντες, ένας ελεύθερος, και ένας υπό πίεση κάτω από το στρώμα αργίλων που εμφανίζεται σε βάθος 25-40 m (Υ.Γ., 1979).

Από την περιγραφή της γεωλογικής δομής γίνεται φανερό ότι ο συνδυασμός της λιθολογίας του υποβάθρου των ιζημάτων και των τεκτονικών δομών δημιουργούν για όλο το υδροφόρο σύστημα της λεκάνης της Άνω Μεσσηνίας στεγανές συνθήκες, χωρίς τη δυνατότητα υπόγειων απορροών, επειδή οι τεκτονικές δομές (ρηξιγενείς ζώνες), που φέρνουν τα μεταλπικά ιζήματα σε επαφή με αδιαπέρατους σχηματισμούς, δε δίνουν τη δυνατότητα απορροής αλλά αντίθετα τροφοδοτούν τον υδροφόρο ορίζοντα με επιπλέον ποσότητες νερού (Υ.Γ., 1979, ΜΑΡΙΟΛΑΚΟΣ, 1988). Ο αργιλικός ορίζοντας αφετέρου δημιουργεί και ειδικότερα για τον ελεύθερο υδροφόρο ορίζοντα κλειστές συνθήκες. Η λεκάνη της Άνω



Εικ. 2: Μορφολογία της λεκάνης
Fig. 2: Basin topography

τμήμα της περιοχής, στο χωριό Άνω Μέλπεια, αναβλύζει πηγή, η οποία τροφοδοτεί το μικρό ποτάμι που ρέει κατά μήκος της στενής κοιλάδας (Ρέμα Λαγκάδια), έχει δε ροή νερού καθ' όλο το έτος (Υ.Γ., 1979). Στο πεδινό τμήμα, το ρέμα αυτό συμβάλλει μαζί με άλλα παροδικής ροής ρέματα στον ποταμό Αμφίτιτη, ο οποίος διαρρέει με διεύθυνση βορρά-νότο όλο το πεδινό τμήμα του υδροφορέα (Εικ. 2). Επίσης κατά μήκος του δυτικού και βόρειου ορίου του υδροφορέα και πάνω στη νοτιή γραμμή αλλαγής της μορφολογικής κλίσης εμφανίζονται αρκετές μικρές πηγές παροδικής ροής και μικρής παροχής (Υ.Γ., 1979).

4. ΜΕΘΟΔΟΣ ΠΡΟΣΟΜΟΙΩΣΗΣ

Για την προσομοίωση του ελεύθερου υδροφόρου χρησιμοποιήθηκε το σύστημα MODFLOW (McDONALD & HARBAUGH, 1988). Η μη-μόνιμη κίνηση του υπόγειου νερού σταθερής πυκνότητας δια μέσου ενός πορώδους μέσου περιγράφεται από την μετρική διαφορική εξίσωση:

Ψηφιακή Βιβλιοθήκη "Θεόφραστος" - Τμήμα Γεωλογίας. Α.Π.Θ.

Μεσσηνίας, που μαζί με αυτή του Δωρίου - Κοπανακίου αποτελεί μία ενιαία υδρογεωλογική ενότητα, είναι λοιπόν ένα κλειστό υδρογεωλογικό σύστημα, με μοναδική δυνατότητα επιφανειακής απορροής μια στενή ζώνη στο νότιο τμήμα μεταξύ Νεοχωρίου και Μελιγαλά (Υ.Γ., 1979, ΜΑΡΙΟΛΑΚΟΣ, 1988). Το υπόγειο νερό συγκεντρώνεται στην κεντρική περιοχή της λεκάνης, μεταξύ των χωριών Στενικλάρος - Ζευγόλαστο - Σολάκιο - Μελιγαλάς, περιοχής που περιοδικά πλημμυρίζει (εικ. 2).

Η κατανομή του συντελεστή υδραυλικής αγωγιμότητας Κ εξαρτάται από την κοκκομετρία των ιζημάτων και παρουσιάζει τιμές μικρότερες στο πεδινό τμήμα της λεκάνης, το οποίο καταλαμβάνουν τα λεπτόκοκκα ιζήματα και μεγαλύτερες στις παρυφές, όπου αναπτύσσονται οι κώνοι κορρημάτων (εικ. 4α). Λόγω του μεγαλύτερου πάχους των ιζημάτων στο πεδινό τμήμα (≈ 40 m και κατά θέσεις ως 60 m) σε σχέση με τα περιθώρια, η αποθηκευτικότητα του υδροφορέα σε αυτό δεν είναι μειωμένη.

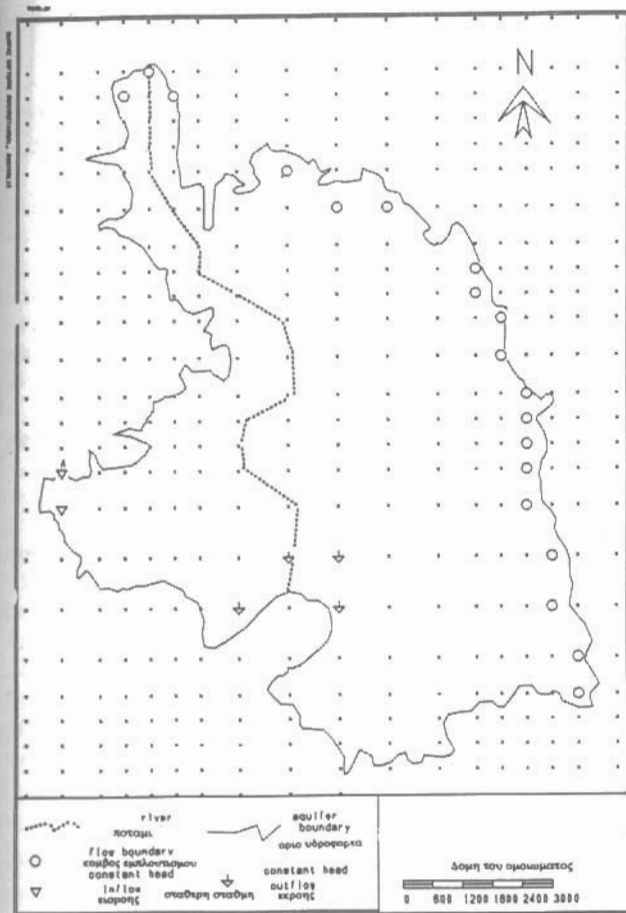
Στο βορειοανατολικό τμήμα της περιοχής, στο χωριό Άνω Μέλπεια, αναβλύζει πηγή, η οποία τροφοδοτεί το μικρό ποτάμι που ρέει κατά μήκος της στενής κοιλάδας (Ρέμα Λαγκάδια), έχει δε ροή νερού καθ' όλο το έτος (Υ.Γ., 1979). Στο πεδινό τμήμα, το ρέμα αυτό συμβάλλει μαζί με άλλα παροδικής ροής ρέματα στον ποταμό Αμφίτιτη, ο οποίος διαρρέει με διεύθυνση βορρά-νότο όλο το πεδινό τμήμα του υδροφορέα (Εικ. 2). Επίσης κατά μήκος του δυτικού και βόρειου ορίου του υδροφορέα και πάνω στη νοτιή γραμμή αλλαγής της μορφολογικής κλίσης εμφανίζονται αρκετές μικρές πηγές παροδικής ροής και μικρής παροχής (Υ.Γ., 1979).

$$\frac{\partial}{\partial x} \left(K_{xx} \frac{\partial h}{\partial x} \right) + \frac{\partial}{\partial y} \left(K_{yy} \frac{\partial h}{\partial y} \right) + \frac{\partial}{\partial z} \left(K_{zz} \frac{\partial h}{\partial z} \right) - \Sigma(x, y, z, t) = S_y \frac{\partial h}{\partial t} \quad (1)$$

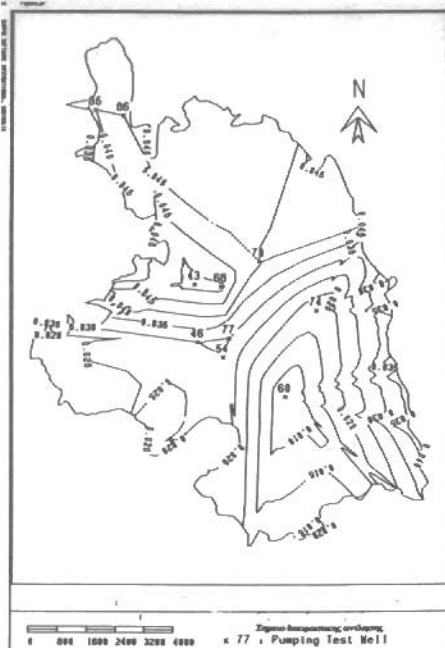
όπου K_{xx} , K_{yy} , K_{zz} , είναι οι τιμές της υδραυλικής αγωγιμότητας κατά μήκος των τριών διεύθυνσεων στο χώρο, h η πιεζομετρική επιφάνεια, $\Sigma(x, y, z, t)$ οι εισροές ή εκροές από το σύστημα S_y η ειδική απόδοση του υδροφορέα και t ο χρόνος.

Το μαθηματικό ομοίωμα του υδροφορέα αποτελείται από την εξίσωση (1) μαζί με τον προσδιορισμό αρχικών συνθηκών στάθμης καθώς και συνθηκών ροής ή / και στάθμης στα όρια του συστήματος. Η αναλυτική λύση της εξίσωσης (1) είναι δυνατή μόνο σε πολύ απλά συστήματα, αλλιώς απαιτούνται αριθμητικές μέθοδοι για τη λύση του προβλήματος. Μια τέτοια προσέγγιση είναι η μέθοδος των πεπερασμένων διαφορών (εκτός άλλων McDONALD & HARBAUGH, 1988). Με τη μέθοδο αυτή το συνεχές σύστημα που περιγράφει η εξίσωση (1) διαχωρίζεται σε ένα δίκτυο διακριτών κόμβων στο χώρο και στο χρόνο και οι μερικές παραγωγοί της στάθμης ή αντικαθίστανται από διαφορές του ή υπολογισμένες σε κάθε κόμβο.

Η δομή του ομοιώματος παρουσιάζεται στην εικ. 3, όπου φαίνεται ο διαχωρισμός του υδροφορέα σε ένα μη κανονικό ορθογώνιο δίκτυο με αποστάσεις μεταξύ των κόμβων 500 ή 1000 m. Στην εικ. 4α φαίνεται η κατανομή του συντελεστή υδραυλικής αγωγιμότητας K στη λεκάνη και τα 9 σημεία προσδιορισμού του K από δοκιμαστικές αντλήσεις. Ο χάρτης αυτός κατασκευάστηκε με τη μέθοδο των τριγωνισμού, η οποία κρίθηκε σαν η πιο κατάλληλη, λόγω του μικρού αριθμού των μετρήσεων σε σχέση με την έκταση της λεκάνης. Το καλοκαίρι του 1993 επιπλέον δοκιμαστικές αντλήσεις επιβεβαίωσαν τις τιμές αυτές. Στην εικ. 4β παρουσιάζεται η πιεζομετρία του Μαΐου 1976, όπου αποτελεί και την αρχική συνθήκη για τον υπολογισμό του ομοιώματος, και στην 5α του Οκτωβρίου 1976, που αποτελεί και τη στάθμη ρύθμισης του μοντέ-



Εικ. 3: Δομή του ομοιώματος
Fig. 3: Model structure



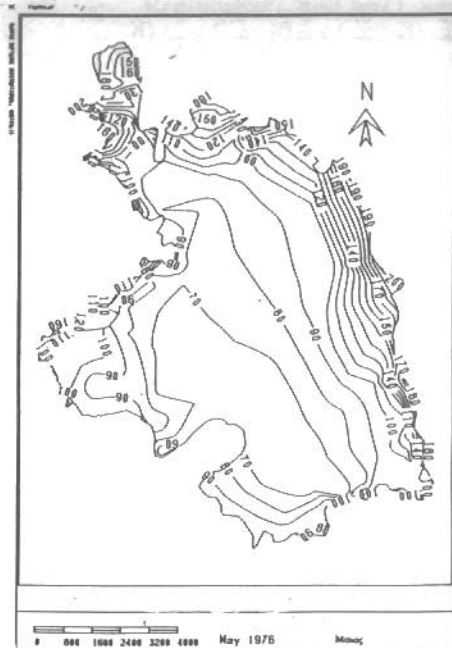
Εικ. 4α: Υδραυλική Αγωγιμότητα K ($\times 10^3$)
Fig. 4a: Hydraulic Conductivity K ($\times 10^3$)

λου. Τέλος στην εικ. 5β παρουσιάζεται η υπολογισμένη πιεζομετρική επιφάνεια για τον Οκτώβριο 1976. Το ενεργό πορώδες για τον υδροφορέα έχει την τιμή 8%, η κατεύσσυη έχει κατανεμηθεί ομοιόμορφα σε δλη την έκταση του ομοιώματος και έχει την τιμή 50 mm για το διάστημα Μαΐου - Οκτωβρίου 1976. Όλα τα παραπάνω στοιχεία και μετρήσεις προέρχονται από μελέτη του Υπουργείου Γεωργίας (Υ.Γ., 1979). Στην εικ. 2 παρουσιάζονται τα όρια του υδροφορέα και οι θέσεις των φρεάτων μέτρησης της στάθμης του.

Οι οριακές συνθήκες παρουσιάζονται στην εικ. 3 και είναι τριάντα ειδών: α) μηδενικής ροής (αδιαπέρατο δριό), β) σταθερής στάθμης, όπου ανάλογα με τη διαφορά από τους γειτονικούς κόμβους προσομοιώνουν εισροές ή εκροές προς / από τον υδροφορέα και γ) ροής εξαρτωμένης από τη στάθμη που προσομοιώνουν εισροές από εξωτερικές πηγές. Του τύπου β) είναι το δριό στα δυτικά της λεκάνης που προσομοιώνει τις υπόγειες εισροές από τη λεκάνη Δωρίου - Κοπανακίου, και στο νότιο-κεντρικό τμήμα, όπου παριστάνονται οι επιφανειακές εκροές από το ποτάμι. Όριο του τύπου γ) είναι η ανατολική και βόρεια πλευρά του υδροφορέα, που προσομοιώνει τις εισροές από τις ρηξιγενείς ζώνες. Ιδιου τύπου δριό είναι και το ποτάμι, όπου ανάλογα με τις στάθμες των γειτονικών κόμβων έχουμε τροφοδοσία του από τον υδροφόρο οοίζοντα ή το αντίστροφο.

5. ΣΥΜΠΕΡΑΣΜΑΤΑ

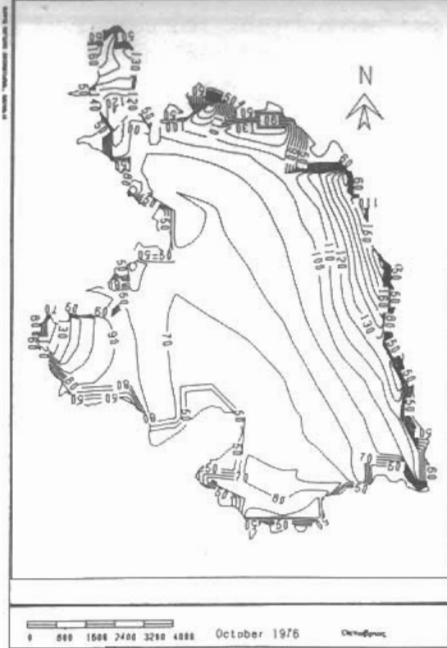
Ο σημαντικότερος παράγοντας που επηρεάζει τη ροή του υπόγειου νερού αλλά και το υδρολογικό ισοζύγιο του ελεύθερου υδροφόρου της λεκάνης της Άνω Μεσσηνίας είναι ο ποταμός Αμφίτας που διαρρέει την περιοχή. Λόγω της αδυναμίας υπόγειων απορροής, αυτός αποτελεί τη μοναδική οδό διαφυγής των υδάτων από τη λεκάνη. Έτσι στο ΒΔ τμήμα, στην στενή κοιλάδα του Ρέματος Λαγκάδια, ο



Εικ. 4β: Μετρημένη πιεζομετρική επιφάνεια
Fig. 4b: Measured piezometric head



Εικ. 5α: Μετρημένη πιεζομετρική επιφάνεια
Fig. 5a: Measured piezometric head



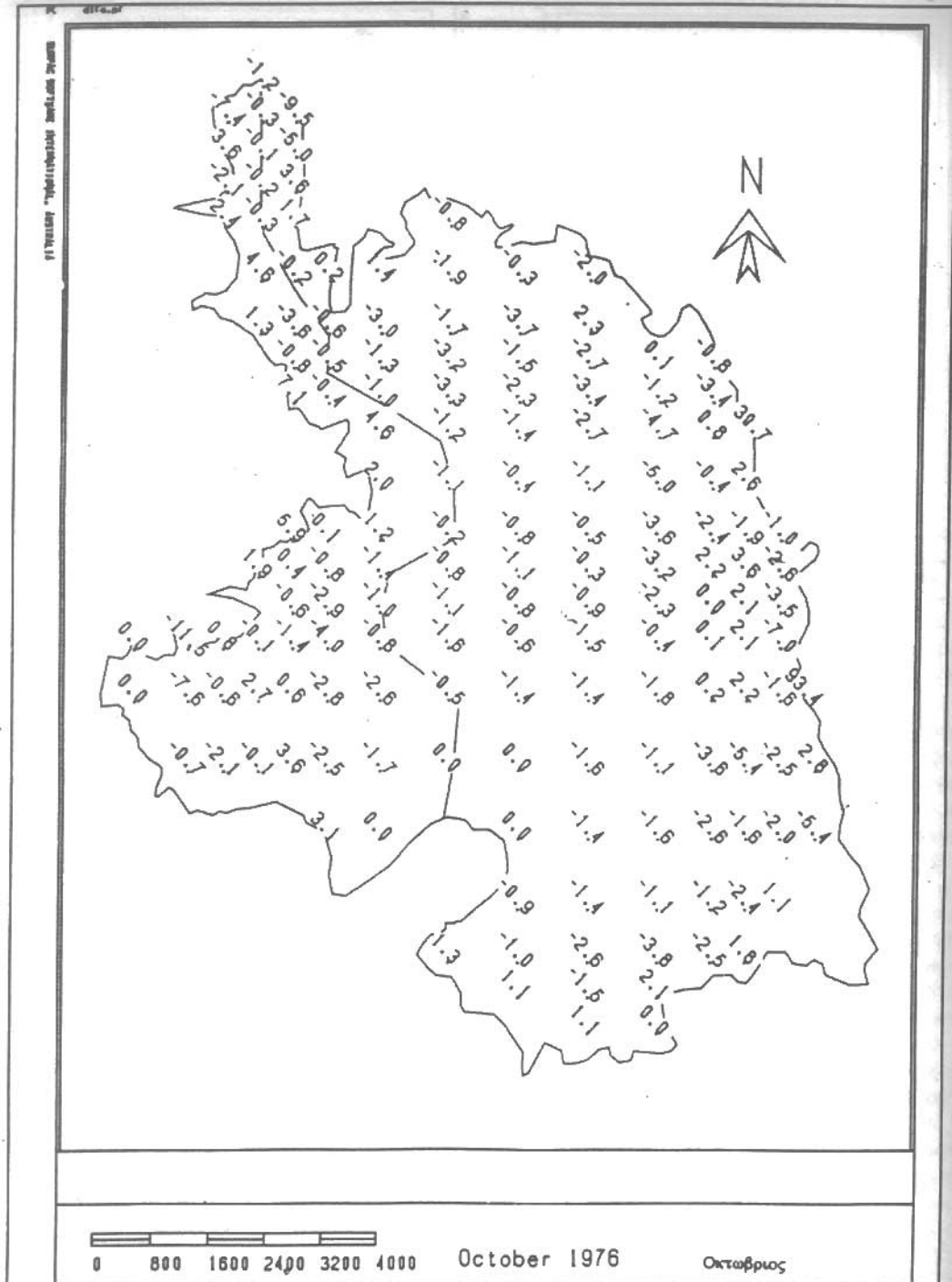
Εικ. 5β: Υπολογισμένη πιεζομετρική επιφάνεια
Fig. 5b: Calculated piezometric head

ποταμός τροφοδοτείται από τον υδροφορέα, όπως φαίνεται από τη γωνία των γραμμών ροής του υπόγειου νερού με την κοίτη του ποταμού. Στα βόρεια του πεδινού τμήματος δεν υπάρχει μεγάλη αλληλεπίδραση του ποταμού με τον υδροφόρο ορίζοντα, αντίθετα, ο υδροφορέας εκφορτίζεται στο ποτάμι στην περιοχή που συγκεντρώνεται το υπόγειο νερό, βόρεια του Μελιγαλά (εικ. 5β).

Ο δεύτερος παράγοντας είναι οι εισροές στον υδροφορέα από τη λεκάνη Δωρίου στα νοτιοδυτικά και από τις ρηξιγενείς ζώνες στα βόρεια και στα ανατολικά από την πλευρική τροφοδοσία των κορρημάτων μέσω των ρηξιγενών ζωνών. Η διαφοροποίηση του K στην κατακόρυφη διάσταση στις παρυφές του υδροφορέα, δηλαδή επιφανειακά στους κάνους κορρημάτων μεγαλύτερες τιμές και προς τους βαθύτερους ορίζοντες μικρότερες, θα έδινε πιο ακριβή αποτελέσματα σε αυτές τις περιοχές, διεν υπάρχουν όμως τα αναγκαία στοιχεία.

Ο τρίτος παράγοντας είναι η υψομετρική διαφορά των παρυφών του υδροφορέα από το κεντρικό τμήμα (100 - 150 m) σε συνδυασμό με την κατανομή του συντε-λεστή ιδραυλικής αγωγιμότητας K (εικ. 4α). Οι υπολογισμοί του ομοιώματος έδειξαν ότι ξαίτιας της μείωσης του K από τις παρυφές ($=1 \cdot 10^{-5}$ m/sec) προς το κέντρο του υδροφορέα ($=1 \cdot 10^{-6}$ m/sec) η ροή του νερού είναι ταχύτερη από τις ρηξιγενείς ζώνες προς τα πλευρικά κορρήματα σε σχέση με τη ροή από το κέντρο του υδροφορέα προς τον ποταμό, κάτι που εξηγεί τις εμφανίσεις των μικρών περιοδικών πηγών στα ριά του πεδινού τμήματος. Το ίδιο γεγονός, συνδυαζόμενο και με την τροφοδοσία σε ελεύθερου υδροφορέα από τον υπό πίεση μέσω του αργιλικού ορίζοντα εξηγεί αι τις πλημμύρες στο πεδινό τμήμα την άνοιξη.

Στην εικ. 6 παρουσιάζεται η διαφορά της μετρημένης στάθμης από την υπολογισμένη για τον Οκτώβριο 1976. Το ομοίωμα υπολογίζει γενικά υψηλότερες τάθμες, ιδίως προς τα περιθώρια. Για μια πιο πιστή αναπαράσταση της λει-



Εικ. 6: Μετρημένη - Υπολογισμένη στάθμη

Fig. 6: Measured h - Calculated h

Ψηφιακή Βιβλιοθήκη "Θεόφραστος" - Τμήμα Γεωλογίας, Α.Π.Θ.

τουργίας του υδροφόρου συστήματος πρέπει να ενταχθούν στο μοντέλο τα ρεύματα παροδικής του ανατολικού περιθώριου και οι πηγές του δυτικού. Επίσης καλύτερα αποτελέσματα θα έδινε μια διαφοροποίηση των τιμών του πορώδους στο χώρο.

ΕΥΧΑΡΙΣΤΙΕΣ

Εκφράζοντας ευχαριστίες στον Καθηγητή κ. H. Marioláko για την παραχώρηση των στοιχείων της μελέτης της ΓΕΩΕΡΕΥΝΗΤΙΚΗΣ και στο συνάδελφο γεωλόγο Ralf von Hassel για τη βοήθεια του στις δοκιμαστικές αντιλήσεις το καλοκαίρι του 1993.

ΒΙΒΛΙΟΓΡΑΦΙΑ

- KANAS, A. (1986). Υδρογεωλογικές και γεωλογικές έρευνες στη νήσο Δονούσα (Κυκλαδες). Διπλωματική εργασία, 129 σ., Παν. Αθηνών, Γεωλ. Τμήμα, Τομέας Δυναμικής, Τεκτονικής, Εφαρμοσμένης Γεωλογίας, Αθήνα.
- DUFFY, C.J. and AL-HASSAN, S. (1988). Groundwater Circulation in a Closed Desert Basin: Topographic Scaling and Climatic Forcing, *Water Resources Research*, 24 (10), p. 1675-1688.
- KATSEIKATEOS, G. (1980). Γεωλογική Μελέτη περιοχής Βασιλικού-Ιθώμης, Μεσσηνίας, Ι.Γ.Μ.Ε., Γεωλογικαί και Γεωφυσικαί μελέται, Τομ. XXI, No 1, 197 σ., 12 πίνακες, Αθήνα.
- KOKOROMYTIS, A. and ΣΠΥΡΙΔΩΝΟΣ, E. (1986). Υδρογεωλογικές και γεωλογικές παρατηρήσεις στο νησί Σίφνος (Κυκλαδες). Διπλωματική εργασία, 92 σ., Παν. Αθηνών, Γεωλ. Τμήμα, Τομέας Δυναμικής, Τεκτονικής, Εφαρμοσμένης Γεωλογίας, Αθήνα.
- KINZELBACH, W. (1986). *Groundwater Modeling*, 333 p., Elsevier, Amsterdam.
- ΛΑΛΕΧΟΣ, N. (1974). Η Γεωλογική δομή της Κεντρο - Δυτικής Πελοποννήσου, Ι.Γ.Μ.Ε., Γεωλογικαί αναγνωρίσεις, No 53, 94 σ., 17 πίνακες, Αθήνα.
- MARIOLOAKOS, H. (1988). Η εφαρμογή του νομού του Darcy σε κλειστά υδρογεωλογικά συστήματα, παράδειγμα: Η λεκάνη της Άνω Μεσσηνίας (ΝΔ Πελοπόννησος). Δελτ. Ελλ. Γεωλ. Εταιρ., Πρακτικά 3ου Συνεδρίου, XX/3, 77-96, Αθήνα.
- MABBUTT, J. (1979). *Desert Landforms*, 340 p., MIT Press, Cambridge, Mass.
- McDONALD, M.G. and HARBAUGH, A.W. (1988). A Modular Three Dimensional Finite-Difference Ground-Water Flow Model, 528 p., U.S. Geological Survey, Washington, D.C..
- MERCER, J.W. and FAUST, C.R. (1981). *Ground-Water Modeling*, 60 p. GeoTrans Inc., Resto, Virginia.
- ΜΠΑΜΠΑΤΖΙΜΟΠΟΥΛΟΣ, X., ΚΑΡΓΙΩΤΗΣ, N. ΤΕΡΖΙΔΗΣ, G. (1985). Μαθηματικό Μοντέλο για την αξιοποίηση του υπόγειου νερού της πεδιάδας Κατερίνης. *Υδροτεχνικά, Πρακτικά 2ου Πανελλήνιου Συνεδρίου της Ελληνικής Υδροτεχνικής Ένωσης*, 515-523, Ξάνθη.
- ΜΠΑΜΠΑΤΖΙΜΟΠΟΥΛΟΣ, X., ΜΑΥΡΟΥΔΗΣ, I., ΤΕΡΖΙΔΗΣ, G. (1985). Μαθηματικό μοντέλο για κλειστό υπό πίεση υδροφορέα (πεδιάδα Αλμωπιάς). *Υδροτεχνικά, Πρακτικά 2ου Πανελλήνιου Συνεδρίου της Ελληνικής Υδροτεχνικής Ένωσης*, 549-557, Ξάνθη.
- ΠΑΠΑΝΙΚΟΛΑΟΥ, Δ., ΛΟΓΟΣ, E., ΓΚΑΝΑΣ, A., ΚΟΚΟΡΟΜΥΤΗΣ, A., ΣΠΥΡΙΔΩΝΟΣ, E. Τεκτονικά πρότυπα των μεταμορφωμένων των Κυκλαδών και εφαρμογές τους στην Υδρογεωλογία, υπό εκτύπωση, Δελτ. Ελλ. Γεωλ. Εταιρ., XXVII, Αθήνα.
- ΥΠ. ΓΕΩΡΓΙΑΣ, ΓΕΝ. ΔΙΕΥΘ. ΕΓΓΕΙΩΝ ΒΕΛΤΙΩΣΕΩΝ (1979). Υδρογεωλογική Μελέτη πεδιάδος Άνω Μεσσηνίας, ΓΕΩΕΡΕΥΝΗΤΙΚΗ Ε.Π.Ε., Αθήνα.